

پیش‌بینی رشد دانه در آلومینیم خالص به روش مونت کارلو

سید مسعود حافظ حقیقت (دانشجوی کارشناسی ارشد)

علی کریمی طاهری (استاد)

دانشکده‌ی مهندسی و علم مواد، دانشگاه صنعتی شریف

با توسعه‌ی علوم رایانه‌ی بی، روش‌های عددی در شبیه‌سازی فرایندهای آزمایشگاهی و صنعتی مورد توجه قرار گرفته است. به عنوان مثال می‌توان به استفاده از روش‌های شبیه‌سازی در پیش‌بینی و بررسی ریزساختار مواد مختلف اشاره کرد. با توجه به تأثیر ریزساختارها بر خواص مکانیکی و فیزیکی مواد، پیش‌بینی آنها از اهمیت به سازایی برخوردار است. روش مونت کارلو که به عنوان یک روش فیزیکی - آماری محسوب می‌شود، در زمرة‌ی روش‌هایی است که در دهه‌های اخیر به صورت موفقیت‌آمیزی در شبیه‌سازی ریزساختار مورد استفاده قرار گرفته است. در تحقیق حاضر از این روش به منظور بررسی رشد دانه‌ی نرمال استفاده شده است، به این ترتیب که از طریق کدنویسی رایانه‌ی ساختار ماده به صورت شبکه‌ی مثلثی 150×150 دوبعدی تصویر شده و طبق الگوریتم مونت کارلو تغییرات ریزساختار بر حسب زمان به دست آمده است. نتایج نشان می‌دهد که توان رشد دانه‌ی به دست آمده از این روش مطابقت قابل قبولی با توان رشد دانه‌ی حاصل از مدل‌های تجربی برای فلزات دارد. همچنین با بررسی ریزساختار آلومینیم در دمای مشخص و استفاده از رابطه‌ی سهمی‌کون رشد دانه، تغییر مقدار Q به عنوان تعداد جهت‌گیری کریستالی شبکه‌ی مدل مذکور، مورد مطالعه قرار گرفته است.

پیش‌بینی رشد به کار بردن که تحولی بزرگ در توسعه‌ی مدل‌های

مقدمه

پیش‌بینی و کنترل ریزساختار فلزات در حین فرایندهای ساخت و تولید صنعتی از اهمیت ویژه‌ی در علم مواد برخوردار است. در برخی از فرایندهای تولید صنعتی، مواد تحت عملیات حرارتی و کار مکانیکی قرار می‌گیرند. در اثر این عملیات بازیابی، تبلور مجدد و رشد دانه در فلز اتفاق افتاده و باعث تعویض ریزساختار و تغییر ویژگی‌های نهایی محصول می‌شود. بنابراین در شاخه‌ی مهندسی مواد، پیش‌بینی ریزساختار به صورت تابعی از زمان، دما و شرایط کار برای دست‌یابی به ویژگی‌های مطلوب در محصول نهایی از اهمیت فراوانی برخوردار است. اما به علت پیچیده بودن برهم‌کنش دانه‌ها، فرموله کردن عمومی این پدیده مشکل است. رشد دانه نیز به طور خاص روی خواص مکانیکی ماده اثر می‌گذارد. به طور مثال در مورد کاربردهای ساختاری، در دماهای پایین به منظور دست‌یابی به استحکام و چرمگی بالاتر، اندازه دانه‌های ریزتری مورد نیاز می‌باشد، اما چنانچه بهبود مقاومت خزشی در دمای بالا مدنظر باشد دانه‌های درشت‌تری مورد نیاز است.

اساس مدل‌های نظری فرایند رشد دانه به حدود ۵۰ سال قبل بر می‌گردد که برای نخستین بار در سال‌های ۱۹۴۸ میلادی و سپس در سال ۱۹۵۲ میلادی ارائه شد. پس از آن در خلال ۳۰ سال، مدل‌های دیگری برپایه‌ی نتایج تجربی ارائه شدند. در سال ۱۹۸۴ میلادی اندرسون و همکارانش روش شبیه‌سازی رایانه‌ی را برای

که این ویژگی باعث چشم پوشی از تأثیر متقابل دانه‌ها بر هم می‌شود.^[۲] اما در روشنی که توسط اندرسون و سرولویتز و براساس مدل مونت کارلو، در دهه ۱۹۸۰ میلادی انجام گرفت برهم‌کنش متقابل دانه‌ها نیز در نظر گرفته شد.^[۳] لازم به ذکر است که تحقیقات متعددی نیز در زمینه‌های انجام‌داد، رشد فیلم‌های نازک، انتقال جرم در حالت جامد، رفتار مکانیکی جامدات سرامیکی چندگریستالی، شبیه‌سازی قطعات نیمه‌رسانای زیر میکرون، و شکست و گسیختگی مواد با استفاده از این روش انجام گرفته است.^[۴-۶]

در تحقیق حاضر سعی شده است مطابقت نتایج حاصل از روش مونت کارلو با مدل‌های نظری و تجربی به دست آمده برای رشد دانه مورد بررسی قرار گیرد. بدین منظور در مرحله‌ی اول توان رشد دانه به دست آمده از روش مونت کارلو با نتایج مدل‌های نظری و تجربی مقایسه می‌شود. سپس در مرحله‌ی دوم با در نظر گرفتن یک اندازه دانه‌ی اولیه متوسط برای آلومینیم، نتایج به دست آمده از روش مونت کارلو با نتایج حاصل از مدل رشد دانه‌ی سه‌می‌گون مقایسه می‌شود.

مدل نظری رشد دانه
بورک و ترنبول^[۷] در سال‌های ۱۹۴۸ و ۱۹۵۲ میلادی سیستمیک رشد دانه را با فرض اینکه فشار اعمالی به مرز دانه (P) تنها از انحنای مرز ناشی می‌شود ارائه کردند. اگر شعاع‌های انحنای اصلی یک مرز با انرژی R_1 برابر با R_1 و R_2 باشد، برای فشار اعمالی به مرز دانه داریم:

$$P = \gamma_b \left(\frac{1}{R_1} + \frac{1}{R_2} \right) \quad (1)$$

اگر فرض کنیم مرز قسمتی از کره به شعاع R است، می‌توان نوشت:
 $R = R_1 = R_2$

و در نتیجه:

$$P = \frac{\gamma_b}{R} \quad (2)$$

برای ادامه‌ی محاسبات فرض می‌کنیم:

الف) باز برای همه مرزها یکسان است.

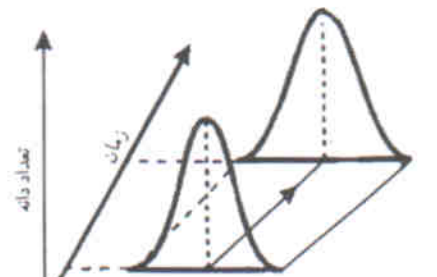
ب) شعاع انحنا (R) متناسب با شعاع متوسط یک دانه خاص است، بنابراین:

$$P = \frac{\alpha \gamma_b}{R} \quad (3)$$

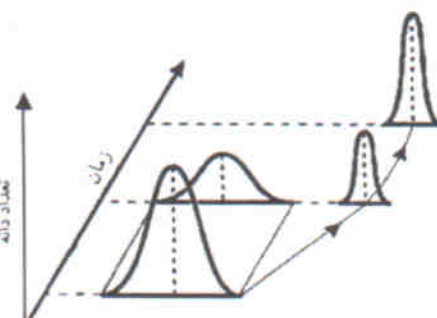
که در آن α ثابت هندسی است.

ج) سرعت مرز متناسب با فشار اعمالی به مرز است، یعنی:

$$V = C \cdot P \quad (4)$$



اندازه دانه نرمال‌بزه شده
الف) رشد دانه نرمال:

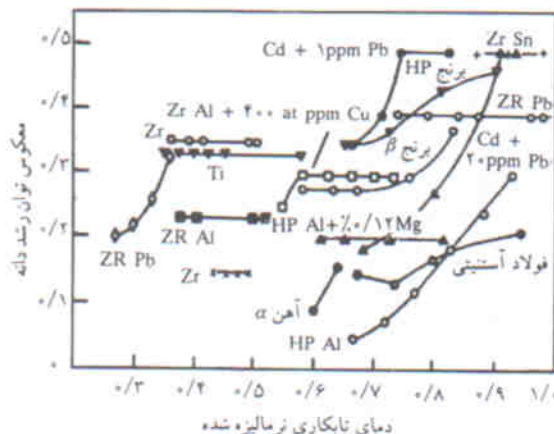


اندازه دانه نرمال‌بزه شده
ب) رشد دانه غیرنرمال. [۸]

شکل ۱. تصویر شماتیک تغییر توزیع اندازه دانه در طول.

این است که فاز خالص بوده و هیچ‌گونه عنصر آلیاژی و فاز ثانویه در زمینه وجود ندارد. همچنین از اثرات اندازه دانه نموده و بافت نیز صرف نظر شده و فقط اثرات دمایی در تبدیلات مدل مونت کارلو وارد شده است.

با توجه به عوامل مذکور، از لحاظ تاریخی به کارگیری شبیه‌سازی رایانه‌ی برای ساختارهای پلی کریستالی در دو مسیر مختلف تکامل یافته است. در روش اول مرز دانه‌ها را به صورت یک مرز پیوسته در نظر می‌گیرند و حرکت آنها را تحت معادلات خاصی مدل می‌کنند. روش دوم براساس مدل مونت کارلو است که به طور خاص تحت عنوان مدل پاتس^۱ خوانده می‌شود. در این روش تک تک دانه‌ها به صورت ساختار مجزا (چیدمان بلوکی) در کنار هم قرار گرفته و در نهایت به صورت مجموع دانه‌ها شکل می‌گیرند. قوانین انرژی، مهاجرت مرز دانه‌ها را کنترل کرده و رفتار رشد آنها را به طور تک به تک به صورت تابعی از زمان پردازش می‌کند.^[۹] روش مونت کارلو به طور موقتی آمیزی در شبیه‌سازی رشد دانه نرمال، غیرنرمال، رشد در حضور ذرات فاز ثانویه، تبلور مجدد استاتیکی و تبلور مجدد دینامیکی به کار گرفته شده است.^[۱۰-۱۱] در بیشتر مدل‌های قبلی دانه‌ها به صورت کروی مورد بررسی قرار گرفته است



شکل ۲. واپتگی دمایی توان رشد دانه‌ی (n) در حالت رشد دانه‌ی همدما برای مواد مختلف.^{۱۱}

برخی فلزات و آلیازها مقدار n کاهش نسبی می‌یابد. همچنین مشاهده می‌شود که مقدار $1/n$ برای فلزات مختلف به طور متوسط، حدود $4/۰$ است. هدف این تحقیق بررسی مقدار $1/n$ به دست آمده از روش مونت کارلو با نتایج فوق است. همچنین سعی شده است میزان مطابقت رابطه 1^n با نتایج حاصل از شبیه‌سازی به روش مونت کارلو مقایسه شود.

روش تحقیق

روش شبیه‌سازی

در این تحقیق برای بررسی رشد دانه نرم‌مال از زیان برنامه‌نویسی MATLAB در مدل کردن به روش مونت کارلو استفاده شد. در این مدل فرض شد ماده از دمای ذوب (T_m) به دمای T سرد شود. سپس در آن دما به صورت بی‌شکل متجمد شده، و شکل‌گیری کریستالی و رشد دانه اتفاق افتاد.^[۱۴,۱۷] برای تصویر کردن ریزساختار در رایانه ابتدائی نشانی از ساختار پیوسته دانه‌ها به شبکه‌ی گستته تبدیل شد. برای این منظور از اجزاء سطحی کوچک در حالت دو بعدی استفاده شد و مرکز این ا manus به عنوان نقاط شبکه در نظر گرفته شدند. از یک شبکه‌ی مثلثی 150×150 دو بعدی برای مدل کردن ریزساختار استفاده شد. در این راستا، به منظور اعمال شرایط پیچیده مرز دانه در مدل، ریزساختار به صورت شبکه‌ی گستته (مانند شکل ۳) در نظر گرفته شد و هر کدام از مکان‌های این شبکه با عددی بین ۱ تا Q مانند S_i مشخص شدند، که هر کدام از این اعداد نشان دهنده‌ی جهت‌گیری کریستالی^۵ یک مکان است. می‌توان گفت مرز دانه محلی است که در مجاور آن دو عدد غیرمساوی وجود دارد و سایر مکان‌ها که دارای اعداد یکسانی هستند به عنوان درون دانه محسوب می‌شوند. شبیه‌سازی در سه حالت $Q=۲۲$, $Q=۶۴$, $Q=۱۸$ انجام پذیرفت.

واز آنجا که سرعت مرز برابر است با:

$$V = \frac{d\bar{R}}{dt} \quad (5)$$

بنابراین خواهیم داشت:

$$\frac{d\bar{R}}{dt} = \frac{\alpha C_{yb}}{\bar{R}} \quad (6)$$

پس:

$$\bar{R} d\bar{R} = \alpha C_{yb} dt \quad (7)$$

با انتگرال‌گیری از رابطه‌ی فوق داریم:

$$\bar{R}^2 - \bar{R}_0^2 = 2\alpha C_{yb} t \quad (8)$$

و با فرض:

$$B = 2\alpha C_{yb} \quad (9)$$

خواهیم داشت:

$$\bar{R}^2 - \bar{R}_0^2 = Bt \quad (10)$$

که در رابطه 1^n , \bar{R} شعاع اندازه‌ی دانه متوسط در زمان t و \bar{R}_0 شعاع اندازه‌ی دانه متوسط اولیه و B مقدار ثابت است. قانون فوق که «قانون رشد سه‌می‌گون» خوانده می‌شود برای هر دو حالت ریزساختار دو بعدی و سه بعدی صادق است، اگر چه طبق رابطه 1^n با تغییر شرایط, B تغییر خواهد کرد. در شرایط حدی که اندازه‌ی دانه خیلی کوچک‌تر از اندازه دانه متوسط در زمان t باشد، یعنی:

$$\bar{R}^2 >> \bar{R}_0^2 \quad (11)$$

خواهیم داشت:

$$\bar{R}^2 = Bt \quad (12)$$

دو رابطه (۱۰) و (۱۲) را در حالت تعمیم یافته می‌توان به صورت زیر نوشت:

$$\bar{R}^n - \bar{R}_0^n = Bt \quad (13)$$

در روابط 1^n , \bar{R} «توان رشد دانه»^۳ می‌خوانند که در محاسبات منتهی به رابطه $1^n = 2, 12 \cdot (1/n)^{1/5}$ به دست می‌آید.^[۱۷, ۱۵]

مطابقت رابطه‌های 1^n و 12 با نتایج تجربی برای اولین بار توسط بک^۴ و همکارانش در سال ۱۹۴۹ میلادی انجام پذیرفت. آنها نشان دادند که مقدار n به طور معمول بیشتر از 2 است ($1/5 < n < 1/2$) و با تغییرات دمایی و ترکیب ماده، مقدار n تغییر می‌کند. بررسی‌های تجربی دیگر نشان داد که توان رشد دانه در تعداد محدودی از مواد برای با 2 است که از طریق روابط 1^n و 12 پیش‌بینی شده بود.^[۱۱] تغییرات مقدار n با تغییرات دما برای فلزات و آلیازها مختلف در شکل ۲ نشان داده شده است. با توجه به این شکل، با افزایش دما در

مهاجرت آنها می‌شود. می‌توان گفت که هر تکه از مرز سرعت حرکتی مناسب با اختلاف پتانسیل شیمیایی موضعی به صورت زیر خواهد داشت:

$$V_i = C[1 - \exp(-\Delta G/kT)] \quad (16)$$

که در آن، ضریب C نشان‌دهندهٔ تحرک مرز بوده و نشانگر تقارن در شبکه است.^[۱۴]تابع احتمال استفاده شده در این شبیه‌سازی نیز با استفاده از فرمان `rand` موجود در توابع کتابخانهٔ نرم‌افزار MATLAB در شبیه‌سازی اعمال شده است.

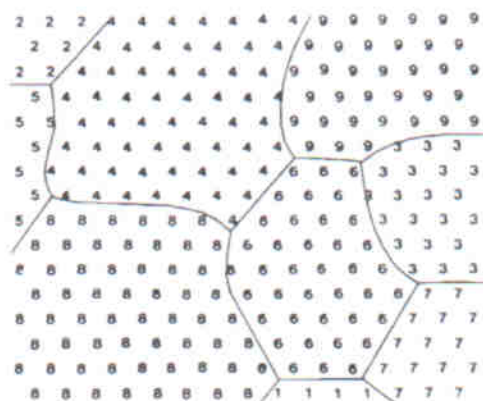
فاصلهٔ زمانی در این شبیه‌سازی تحت عنوان گام مونت کارلو^۹ (MCS) خوانده می‌شود که عبارت است از N دفعهٔ پرسی الگوریتم فوق، در سیستم به صورت اتفاقی.^[۱۳] در این تحقیق، برای تحلیل و اندازه‌گیری ریزساختار به دست آمده از شبیه‌سازی که به صورت فایل‌های تصویری آند از روش پردازش و تحلیل تصویری استفاده شد. روش پردازش و تحلیل تصویری با استفاده از ماتریسی کردن اشکال و ارزش‌دهی به هر پیکسل انجام گرفت و در نتیجهٔ اطلاعات مربوط به ریزساختار در مقیاس ابعادی پیکسل قابل محاسبه بود.

تبديل زمان MCS به زمان واقعی
در پرسی‌های انجام گرفته از روش مونت کارلو زمان بر حسب گام مونت کارلو (MCS) است. هرچند پرسی برخی پارامترها از جمله اندازه دانه نرمالیزه شده به دلیل عدم وابستگی این پارامتر به زمان قابل قبول است، ولی در صورتی که بخواهیم نتایج به دست آمده از شبیه‌سازی را با نتایج تجربی و نظری مقایسه کنیم نیاز به تبدیل MCS به زمان واقعی داریم.

نخستین کار برای تبدیل گام مونت کارلو (MCS) به ثانیه توسط لینگ و اندرسون^[۱۵] با استفاده از روش تجربی و مقایسه سیستیک رشد به صورت زیر انجام گرفت:

$$t_{min} = 20.44 + 0.324 \text{ MCS} \quad (17)$$

که در آن t_{min} زمان بر حسب دقیقه و MCS زمان بر حسب گام مونت کارلو است. این رابطهٔ تا حدودی می‌توانست پاسخ گوی نیاز باشد ولی با توجه به اینکه تبدیل زمان شبیه‌سازی به زمان واقعی به ثابت شبکه‌ی مدل مونت کارلو و دمای سیستم بستگی داشت، با تغییر شرایط نمی‌توانست صحت داشته باشد. بدین منظور رابطهٔ تبدیل زمان MCS به زمان واقعی باید شامل عوامل ترمودینامیکی می‌شد.^[۱۶] سایتو و إنوموتو^[۱۷] در سال ۱۹۹۲ میلادی براساس سازوکار نفوذی رشد دانه، نظریه‌یی به منظور تبدیل زمان



شکل ۳. ریزساختار شبیه‌سازی شده که در آن اعداد نشان‌دهندهٔ مرز دانه‌ها هستند.^[۱۳]

انتخاب اعداد فوق بر این اساس است که طبق تحقیقات انجام گرفته Q می‌باشد بزرگ‌تر از ۳۲ باشد تا مقدار توان رشد دانه واقعی به دست آید.^[۱۴] اندی.^[۱۰]

انرژی کل سیستم حاصل از سطح مرز دانه طبق مدل پاتس^[۱۵] برابر است با:

$$E = \frac{J}{2} \sum_{i=1}^N \sum_{j=1}^{nn} (1 - \delta_{ij}) s_i \quad (18)$$

که در آن J ثابتی است متناظر با انرژی مرز دانه، δ_{ij} ‌مای اول مجموع کل N مکان در سیستم، δ_{ij} ‌مای دوم مجموع کل nn همسایهٔ مکان i از در فاصلهٔ مشخص و s_i دلتای کرونکر است.^[۱۶] الگوریتم شبیه‌سازی سیستمیک مهاجرت مرز دانه به صورت زیر است:

۱. ابتدا یک مکان از نقاط شبکه به صورت اتفاقی انتخاب می‌شود.
۲. سپس جهت کریستالی آن نقطه به صورت اتفاقی به یکی از دیگر جهات کریستالی (غیر از جهت کریستالی نقطهٔ انتخاب شده) تبدیل می‌شود.

۳. در این تبدیل اگر تغییر انرژی حاصل (ΔE) کمتر یا مساوی صفر باشد، تبدیل جهت کریستالی پذیرفته شده است.

۴. در صورتی که تغییر انرژی بزرگ‌تر از صفر باشد، تغییر جهت کریستالی از طریق احتمال بولتزمن که به صورت زیر است مورد پذیرش قرار می‌گیرد:^[۱۸]

$$w = \exp(-\Delta E/kT) \quad (19)$$

که در آن k ثابت بولتزمن و T دما بر حسب درجهٔ کلوین است.
۵. مراحل ۱ تا ۵ به تعداد نقاط شبکه (N) تکرار می‌شود.

بنابراین تغییر جهت‌گیری در داخل دانه تقریباً هرگز اتفاق نمی‌افتد، چراکه انرژی اعمالی به سیستم در این حالت بیشتر می‌شود. در صورتی که در مرز دانه‌ها این تغییر اتفاق افتد باعث رشد و

جدول ۱. تبدیلات انجام گرفته در این تحقیق.

زمان بر حسب گام مونت کارلو (MCS)	\leftarrow	زمان بر حسب ثانیه (s)
طول و سطح بر حسب کوچکترین واحد تصویر (pixel) (μm)	\leftarrow	طول بر حسب میکرون (μm)

جدول ۲. کمیت‌های فیزیکی، ثابت‌های آلومینیم و مدل، که در این شبیه‌سازی استفاده شده‌اند.

$\times 10^{-8}$	$\gamma (\text{J}/\text{m}^3)$
7×10^{-6}	$V(\text{m}^3/\text{mol})$
$2/46$	$d'(\text{\AA})$
$8/3$	$R_g (\text{J}/\text{mol}^\circ \text{k})$
1273	$T(\text{K})$
10	$d(\mu\text{m})$
$32,64,180$	Q

۲. مقادیر مربوط به کمیت‌های فیزیکی: دما (T)، زمان (t)، و ثابت گازها (R_g).

۳. مقادیر مربوط به مدل: تعداد حالات شبکه‌ی مدل (Q)، ثابت شبکه‌ی مدل (d)، و اندازه دانه‌ی متوسط اولیه (\bar{A}_o). در این تحقیق کمیت‌های مربوط به ماده برای آلومینیم خالص در رابطه‌ها قرار داده شد. همچنین کمیت‌های فیزیکی و مقادیر مربوط به مدل به صورت جدول ۲ ب Dunnan مقدار ۲ به عنوان مقادیر اولیه در شبیه‌سازی استفاده شدند.

نتایج و بحث

محاسبه‌ی توان رشد دانه

چنان‌که در شکل ۴ مشاهده می‌شود، با گذشت زمان درشت‌شدن تدریجی دانه‌ها مشهود است. از طرفی با توجه به این که با گذشت زمان، دانه‌ها به صورت محوری باقی مانده‌اند و اندازه‌ی بزرگ‌ترین دانه تقریباً $2/5\text{-}3$ برابر اندازه دانه‌ی متوسط (\bar{R}) است، می‌توان نتیجه گرفت که رشد دانه از نوع نرمال است. $^{[2]}\text{[3]}$ تحلیل‌های دیگر براساس رسم هیستوگرام‌های تعداد دانه بر حسب اندازه دانه‌ی نرمالیزه شده در شکل ۵ بررسی‌های فوق را تأیید می‌کنند. همان‌طور که از اشکال ۵ الف تا ۵ د مشاهده می‌شود در هر کدام از این اشکال که به ترتیب در زمان‌های MCS₀, MCS₃₀, MCS₅₀ و MCS₇₀ به دست آمده اندازه‌ی دانه‌ها، توزیع نرمال خود را از دست نمی‌دهد و شرایط توزیع دانه همانند شکل ۱ الف است، یعنی اندازه

شبیه‌سازی روش مونت کارلو به زمان واقعی ارائه کردند. ضریب نفوذ مرز دانه، D، در شبکه‌ی دو بعدی مثلثی تابعی از فرکانس پرش آفقي، ω و ثابت شبکه‌ی مدل مثلثی، d، به صورت زیر است:

$$D = v d^{3/6} \quad (18)$$

در مدل پاتس با تعداد حالات جهت‌گیری کریستالی شبکه، Q، مقدار MCS با زمان پرش متوسط $1/7$ متناسب است، بنابراین زمان MCS ۱ برابر است با:

$$1 (\text{MCS}) = d^{3/6} / 6 D Q (s) \quad (19)$$

همان‌طور که از رابطه‌ی 10 مشاهده می‌شود، ثابت B تابعی از انرژی مرز دانه است، به طوری که می‌توان ارتباط این ثابت را با سایر عوامل ترمودینامیکی به صورت زیر نشان داد:

$$B = \gamma V D / d' R_g T \quad (20)$$

که در آن γ : V: d' : R_g : T به ترتیب انرژی مرز دانه، حجم مولی فلز مورد نظر، ثابت شبکه‌ی فلز، ثابت گازها و دما بر حسب درجه‌ی کلوین است. بنابراین با ترکیب روابط 19 ، 20 ، 10 رابطه‌ی رشد دانه‌ی سه‌می‌گون را به صورت زیر می‌توان نوشت:

$$\bar{R}_{\mu\text{m}} = B t_s + \bar{R}_{\mu\text{m}}$$

$$\bar{R}_{\mu\text{m}} = \frac{\gamma V D}{d' R_g T} \times \frac{1}{6 D Q} + \bar{R}_{\mu\text{m}} \quad (21)$$

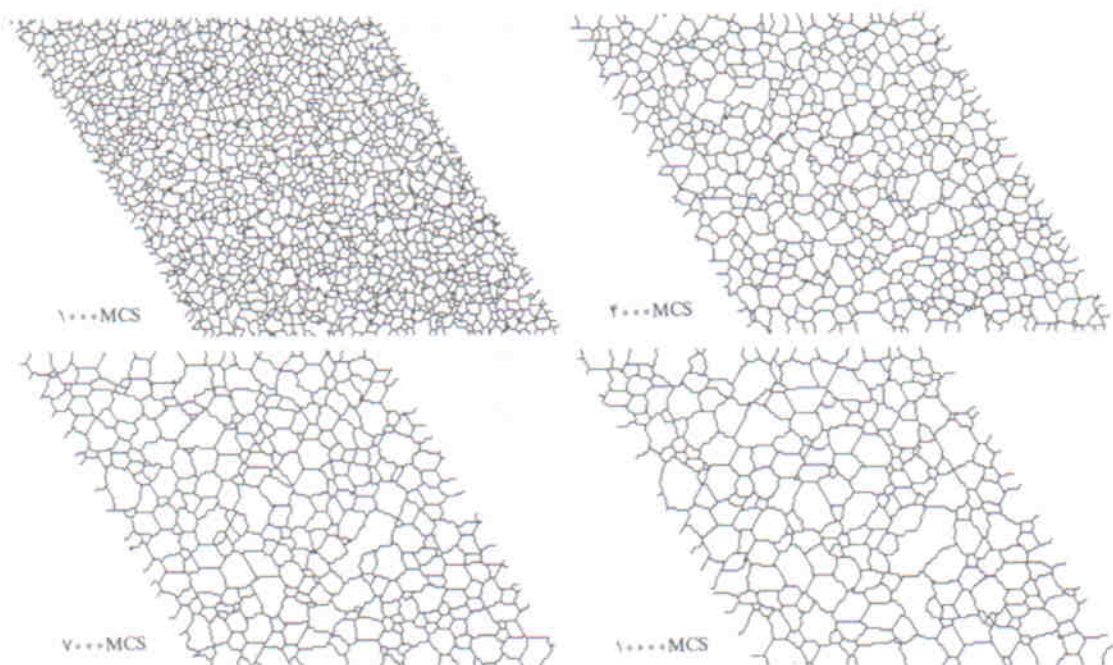
همچنین با تبدیل مقیاس تصاویر مورد آنالیز از پیکسل به میکرون خواهیم داشت:

$$\bar{R}_{\mu\text{m}} = \sqrt{\frac{\gamma V D}{6 d' R_g T Q} + \left(\frac{15 \cdot d}{1158} \right)^2 \frac{\bar{A}_{\text{pix el}}}{\pi}} \quad (22)$$

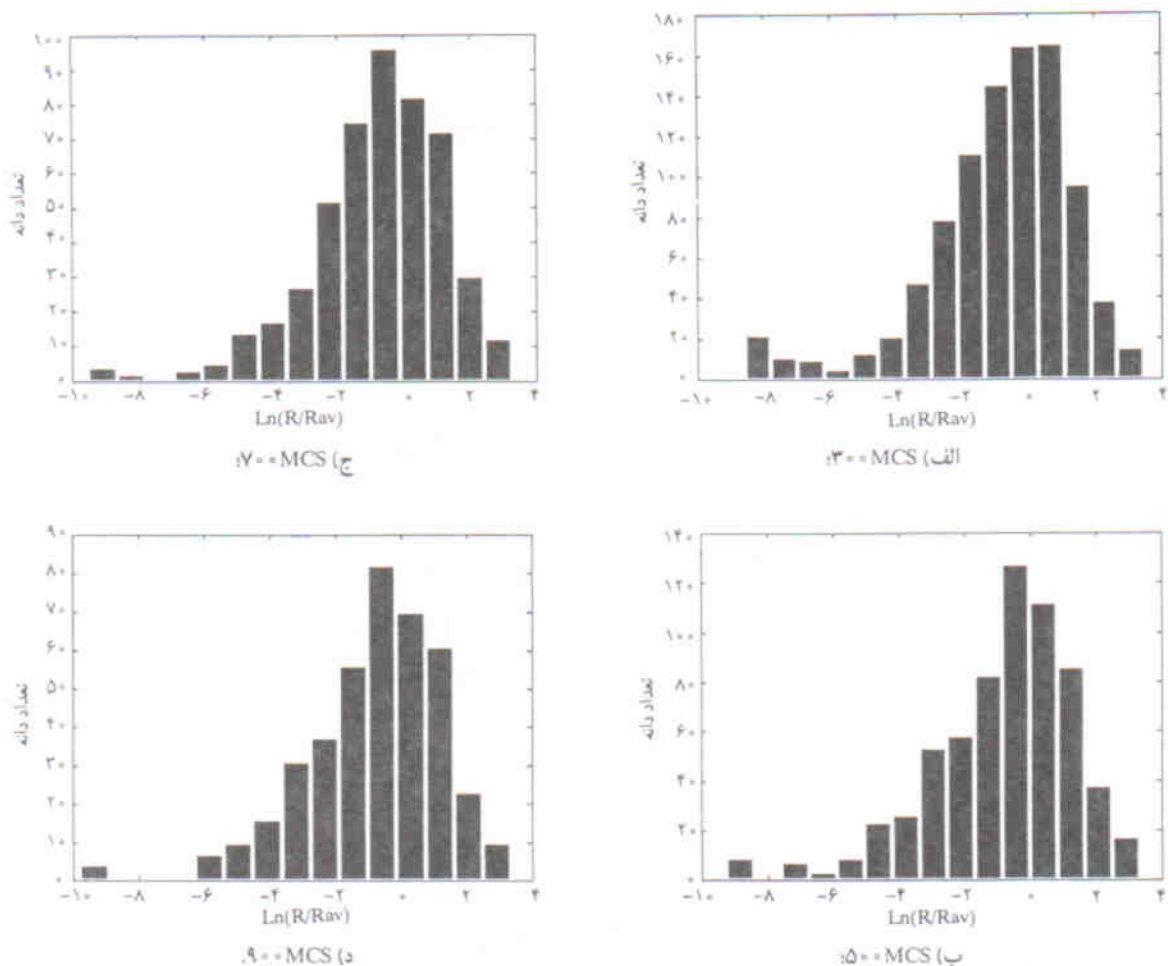
در رابطه‌ی 21 و 22 ، t_s : 22 : $\bar{R}_{\mu\text{m}}$: $\bar{A}_{\text{pix el}}$ به ترتیب زمان بر حسب ثانیه، شاعع متوسط دانه‌ها در زمان MCS! بر حسب میکرون، شاعع متوسط اولیه دانه‌ها بر حسب میکرون، و اندازه‌ی دانه‌ی متوسط اولیه بر حسب پیکسل اند. همان‌طور که ملاحظه می‌شود در رابطه‌ی 22 تبدیلات زمانی و ابعادی به صورت جدول ۱ انجام گرفته است، به گونه‌ی که می‌توان با قراردادن اندازه‌ی دانه‌ی متوسط اولیه بر حسب پیکسل و زمان بر حسب MCS در طرف راست رابطه، شاعع متوسط دانه را بر حسب میکرون (μm) از طرف چپ رابطه بدست آورد.

با توجه به نکات فوق الذکر به طور کلی پارامترهای اعمالی در روابط و مدل را می‌توان به سه دسته تقسیم کرد:

۱. مقادیر مربوط به نوع ماده: انرژی مرز دانه (d)، حجم مولی ماده (V)، و ثابت شبکه‌ی کریستالی فلز (d').



شکل ۴. پیش‌بینی رشد دانه بدون حضور رسوبات در حالت شبکه‌ی مثلثی و $Q = 180$.

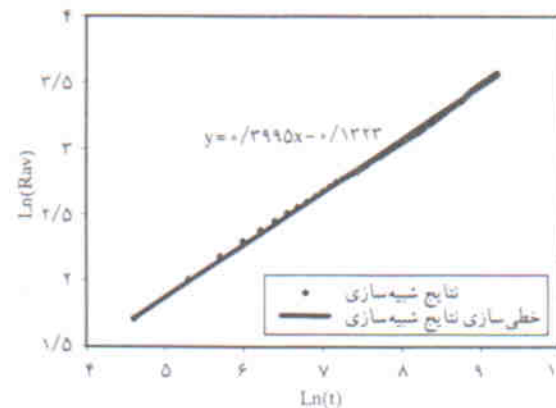


شکل ۵. هیستوگرام‌های اندازه‌ی دانه‌ی نرمال‌باز شده بر حسب تعداد دانه‌ی زمان‌های فوق که نشان‌دهنده‌ی توزیع نرمال دانه‌ها در این زمان‌هاست.

بررسی رشد دانه‌ی آلمینیم

به منظور بررسی میزان مطابقت نتایج حاصل از روش مونت کارلو با رابطه‌ی نظری رشد دانه‌ی سهمی‌گون، شبیه‌سازی در سه مقدار Q برابر با 32 ، 64 و 128 تا زمان $MCS = 10000$ انجام پذیرفت. اندازه دانه‌ی متوسط اولیه (\bar{A}) در زمان $MCS = 10000$ به عنوان مبنا در رابطه‌ی رشد دانه (رابطه‌ی 22) قرار داده شد. سپس با استفاده از رابطه‌ی 22 ، اندازه‌ی شعاع متوسط در زمان‌های 10000 تا 90000 بعد از $MCS = 10000$ اولیه به دست آمد. از طرفی اندازه‌ی شعاع متوسط دانه‌ها در زمان‌های ذکر شده از طریق مدل شبیه‌سازی شده توسط روش مونت کارلو به دست آمده تابع به صورت اشکال 7 تا 9 به ترتیب برای Q ‌های 32 ، 64 و 128 است.

همان‌طور که مشاهده می‌شود، هر کدام از این اشکال دارای 3 مجموعه داده هستند. منحنی‌هایی که به صورت ضخیم رسم شده‌اند، نشان‌دهنده‌ی نتایج حاصل از مدل مونت کارلو هستند. داده‌های به صورت علامت مربعی (چهارگوش)، نتایج حاصل از رابطه‌ی نظری



شکل ۶. تغییرات لگاریتمی شعاع دانه با زمان، در شبکه‌ی مثلثی با $Q = 128$.

دانه‌ی نرمالیزه شده \bar{R}/R تابع دما نیست، پس می‌توان نتیجه گرفت که رشد دانه از نوع نرمال است.^{۱۷}

منحنی لگاریتمی اندازه دانه‌ی متوسط (\bar{R}) بر حسب زمان برای ریزساختار به دست آمده به صورت شکل 6 به دست می‌آید. این شکل نتایج محاسبه‌ی توان رشد دانه شبیه‌سازی در دمای $K = 0^\circ C$ تا زمان $MCS = 10000$ طبق الگوریتم مونت کارلو را نشان می‌دهد. وارد کردن دمای صفر درجه کلوین به معنی رشد در آن دمای است، بلکه نتایج به دست آمده نشان‌دهنده‌ی یک الگوی کلی برای رشد است.

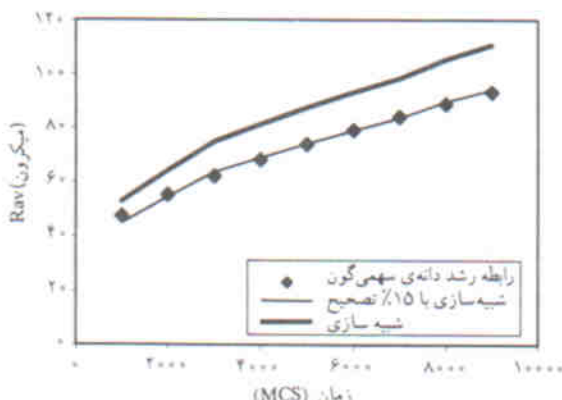
برای اعمال شرایط واقعی رشد، زمان بر حسب MCS ، به زمان بر حسب ثانیه تبدیل می‌شود ولی از آنجا که در محاسبه‌ی توان رشد دانه هدف به دست آوردن شبیب خط لگاریتمی است، نیازی به تبدیل زمانی نیست. شبیب این خط نشان‌دهنده‌ی صحت رابطه‌ی رشد دانه در شبیه‌سازی انجام گرفته است. به طوری که با فرض $m = 1/n$ در رابطه‌ی 13 داریم:

$$\bar{R} = B^{\prime \prime} t^m \quad (22)$$

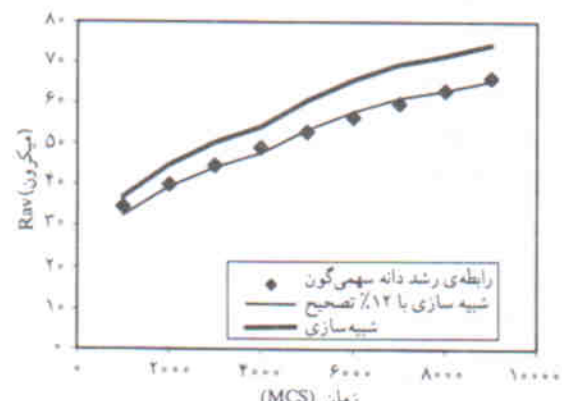
$$\ln(\bar{R}) = B^{\prime \prime \prime} + m \cdot \ln(t) \quad (24)$$

یعنی شبیب خط مزبور نشان‌دهنده‌ی معکوس توان رشد دانه (n) است. همان‌گونه که از این شکل مشاهده می‌شود، شبیب خط در زمان‌های طولانی‌تر به مقدار $40^\circ C$ میل می‌کند.

طبق شکل 2 ، این مقدار برابر متوسط معکوس توان رشد تحریبی برای فلزات است.^{۱۸} بنابراین می‌توان گفت توان محاسبه شده برای رشد دانه با استفاده از روش مونت کارلو مطابقت خوبی با توان رشد دانه فلزات به دست آمده از مدل‌های تجربی را نشان می‌دهد و می‌توان از این روش برای شبیه‌سازی رشد دانه نرمال در فلزات، با دقت مناسبی، استفاده کرد.



شکل ۷. تغییرات اندازه‌ی شعاع متوسط دانه‌ی آلمینیم با زمان به روش مونت کارلو و محاسبات نظری در $Q = 32$ که نشان‌دهنده‌ی 15% خطاست.



شکل ۸. تغییرات اندازه‌ی شعاع متوسط دانه‌ی آلمینیم با زمان به روش مونت کارلو و محاسبات نظری در $Q = 64$ که نشان‌دهنده‌ی 12% خطاست.

توضیح است، همان‌گونه که از اشکال ۷ تا ۹ مشاهده می‌شود افزایش Q باعث کاهش سینتیک رشد می‌شود به طوری که در شکل ۷ برای $Q=22$ اندازه شعاع متوسط دانه‌ها در زمان MCS ۹۰۰۰ μm ، برابر با ۱۱۵ μm است که با توجه به شکل ۹ در $Q=18$ ، اندازه شعاع متوسط دانه‌ها برای زمان MCS ۹۰۰۰ μm یه ۴۶ μm کاهش می‌یابد.

نتیجه‌گیری

به علت اهمیت ریزساختار در تعیین ویژگی‌های مواد مهندسی پیش‌بینی ساختار نهایی در فرایندهای صنعتی و آزمایشگاهی از اهمیت زیادی برخوردار است. در تحقیق حاضر از روش مونت کارلو به منظور بررسی رشد دانه نرمال در مورد آلومینیم استفاده می‌شود. نتایج به دست آمده در این تحقیق میان مناسب بودن روش مونت کارلو برای شبیه‌سازی ریزساختار فلزات است. این نتایج نشان‌دهنده‌ی آن است که:

۱. استفاده از روش مونت کارلو برای تعیین رشد دانه مقدار دقیقی را برای توان رشد دانه متوسط فلزات (n)، مخصوصاً در زمان‌های بالا ارائه می‌دهد.

۲. با تغییرات دمایی در فلزات مختلف، تناسب بین زمان MCS و زمان واقعی فرق می‌کند و باید بر طبق رابطه‌یی که در این تحقیق به دست آمد این تناسب را در هر دما به دست آورد.

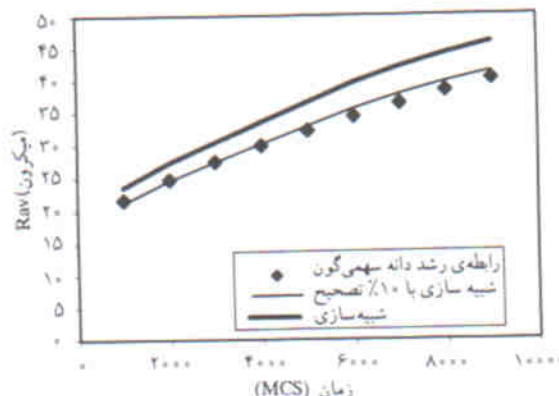
۳. در شبیه‌سازی انجام گرفته برای رشد دانه نرمال در مورد آلومینیم، نتایج مدل مونت کارلو اختلاف 10% تا 15% را نسبت به نتایج به دست آمده از رابطه‌ی رشد دانه سهمی‌گون نشان می‌دهد، به این ترتیب که با افزایش Q به عنوان کمیتی از مدل، اختلاف با رابطه رشد دانه سهمی‌گون به حداقل می‌رسد.

۴. نتایج به دست آمده میان آن است که، Q به عنوان تها پارامتر در افزایش دقت محاسبات مؤثر است و تغییرات ثابت شبکه مدل (d) تأثیری در افزایش دقت ندارد.

۵. همچنین نتایج به دست آمده در Q ‌های مختلف نشان‌دهنده‌ی آن است که با افزایش Q سینتیک رشد دانه کاهش یافته و برای بررسی اندازه دانه مشخص در Q ‌های بزرگ‌تر به زمان طولانی‌تری نیاز است.

پانوشت

1. Potts model
2. Parabolic growth law
3. Grain growth exponent
4. Beck
5. Orientation
6. Monte Carlo Step



شکل ۹. تغییرات اندازه‌ی شعاع متوسط دانه‌ی آلومینیم با زمان به روش مونت کارلو و محاسبات نظری در $Q=18$ که نشان‌دهنده‌ی 10% خطاست.

رشد دانه‌ی سهمی‌گون (رابطه ۲۲) هستند. این نتایج نشان می‌دهند که مدل پاتس در تمامی این اشکال شعاع دانه را مقداری بیشتر از رابطه‌ی سهمی‌گون رشد دانه، پیش‌بینی می‌کند. همچنین با افزایش Q از ۲۲ تا 18° اشکال ۷ تا ۹ اختلاف بین نتایج شبیه‌سازی و نظری کاهش پیدا می‌کند، بدین صورت که دو منحنی اشاره شده به هم نزدیک می‌شوند. داده‌های سری سوم در این اشکال با اعمال 15° تا 15° درصد تصحیح به نتایج حاصل از مدل مونت کارلو رسم شده است که به صورت خط پاریک پیوسته است.

این نتایج مطابقت بسیار خوبی با نتایج حاصل از رابطه‌ی سهمی‌گون رشد دانه نشان می‌دهد. همان‌طور که در این اشکال مشاهده می‌شود، مقدار تصحیح برای Q ‌های 22° و 18° به ترتیب 12% و 10% اعمال شده‌اند، یعنی با افزایش مقدار Q اختلاف از رابطه رشد دانه سهمی‌گون کاهش می‌یابد به طوری که پیش‌بینی می‌شود با میل کردن Q به سمت بی‌نهایت، این اختلاف به سمت صفر میل کند.

بررسی‌های انجام گرفته در این تحقیق نشان می‌دهند که تغییر کمیت d به عنوان ثابت شبکه‌ی مدل تأثیری در دقت محاسبات انجام شده ندارد. با توجه به اینکه پارامترهای دیگری که وارد مدل و روابط محاسباتی شده‌اند در حقیقت کمیت‌های ترمودینامیکی ماده تحت بررسی بوده‌اند و غیرقابل تغییرند، می‌توان گفت Q تنها پارامتر مدل است که با افزایش آن دقت محاسبات افزایش می‌یابد. البته لازم به

منابع

1. Humphreys, F. J., Hatherly, M. Recrystallization and Related Annealing Phenomena. Britain: Pergamon, (1995).
2. Ling, S., Anderson, M.P. "Monte carlo simulation of grain growth and recrystallization in polycrystalline materials". JOM, pp 30, (sept. 1992).
3. Anderson, M.P., Srolovitz, D.J. "Computer simulation of grain

- growth-I. kinetics". *Acta Metall.*, **32** (5), pp 783 (1984).
4. Srolovitz, D.J., Anderson, M.P. "Grain growth in two dimension", *Scripta Metallurgica*, **17**, pp 241 (1983).
5. Hillert, M. "On the theory of normal and abnormal grain growth", *Acta Metall.*, **13**, pp 227 (1965).
6. Rollett, A.D. "Overview of modeling and simulation of recrystallization", *Progress in Materials Science*, **42**, pp 79 (1997).
۷. حافظ‌حقیقت، سید مسعود و کریمی طاهری، علی. «شبیه‌سازی رشد دانه‌ی نرمال و تأثیر دما بر آن به روشن مونت کارلو». مجموعه مقالات هفتمین کنفرانس انجمن مهندسین متالورژی ایران، تهران: دانشگاه صنعتی شریف (۱۳۸۲).
8. Saito, Y. "Monte Carlo simulation of grain growth in three-dimensions", *ISIJ International*, **38** (6), pp 559 (1998).
9. Lee, H.N., Ryoo, H.S. "Monte Carlo simulation of microstructure evolution based on grain boundary character distribution", *Materials Science and Engineering A*, **281**, pp 176 (2000).
10. Saito, Y., Enomoto, M. "Monte carlo simulation of grain growth", *ISIJ International*, **32**, pp 267 (1992).
11. Srolovitz, D.J., Anderson, M.P. "Computer simulation of grain growth-3. influence of a particle dispersion", *Acta Metall.*, **32**(9), pp 1429 (1984).
12. Krajeinovic, D. *Damage Mechanics*. Netherlands: Elsevier (1996).
13. Tomizawa, K. "Numerical simulation of submicron semiconductor devices", London: Artech House (1993).
14. Sahni, p.S., Grest, G.S. "Kinetics of the Q-State potts model in two dimensions", *Physical Review Letters*, **50** (4), pp 263 (1983).
15. Jain, S. "Monte Carlo simulation of disordered systems", Singapore: World Scientific (1992).
16. Saito, Y. "The Monte Carlo simulation of microstructural evolution in metals", *Materials Science and Engineering A*, **223**, pp 114-124 (1997).